

## 致 谢

本论文及毕业设计是在我的导师王昭顺教授的悉心指导下完成的，在此表示由衷的感谢。王老师在我研究生阶段的科研工作给予了大力的指导，他为人师表的专业知识技能、敬业精神和对科学不懈的探索 and 追求所给予我的影响也将使我在未来的学习和工作中受益。

论文的顺利完成同时得到了赵万里同学、汪翔同学的大力支持和无私帮助，在此表示诚挚的谢意。

感谢在我攻读研究生学位过程中所有给予我帮助的老师、同学们，你们的帮助使我受益匪浅。

最后，谨向在百忙之中抽出宝贵时间评审本论文的专家、学者致以最诚挚的感谢！

## 摘 要

# Abstract

# 目录

致 谢	I
摘 要	II
Abstract	III
第一章 绪论	1
1.1 研究背景及意义	1
1.2 国内外研究现状与进展	1
1.3 本文研究现状	2
1.4 论文组织结构	3
第二章 密码分析学	4
2.1 密码分析学的发展背景	4
2.2 密码分析学的定义	4
2.3 密码分析学研究的必要性	5
2.4 密码分析方法	5
2.4.1 密码攻击类型	6
2.4.2 暴力攻击法	7
2.5 单向散列函数的破解	8
2.5.1 Hash 函数的简介	8
2.5.2 对 Hash 函数攻击的方法	9
2.6 本章小结	10
第三章 时空折中算法	12
3.1 Martin Hellman 最初的算法	12
3.1.1 预运算	12
3.1.2 在线分析阶段	14
3.1.3 TMTO 曲线	14

3.1.4 密钥分析的成功率 . . . . .	15
3.2 Ronald Rivest 差异点 DP 方法 . . . . .	17
3.3 Philippe Oechslin 的彩虹表算法 . . . . .	17
3.3.1 非完美彩虹表 . . . . .	17
3.3.2 完美彩虹表 . . . . .	20
3.4 本章小结 . . . . .	21
<b>第四章 利用彩虹表进行密码破解</b>	<b>22</b>
4.1 彩虹表的生成 . . . . .	22
4.2 利用彩虹表进行破解密钥 . . . . .	25
<b>第五章 彩虹表算法优化设计与实现</b>	<b>26</b>
5.1 计算能力优化 . . . . .	26
5.1.1 基于 GPU 的优化方案 . . . . .	26
5.1.2 基于云计算的优化方案 . . . . .	26
5.2 存储优化 . . . . .	26
5.3 算法结构优化 . . . . .	28
5.4 本文的实现与性能分析 . . . . .	28
<b>第六章 本文总结与展望</b>	<b>29</b>
6.1 总结 . . . . .	29
6.2 展望 . . . . .	29
<b>参考文献</b>	<b>32</b>

## 插图

2.1 暴力攻击的几个方法比较 . . . . .	8
3.1 碰撞示意图 . . . . .	16
4.1 彩虹表生成程序 . . . . .	24
4.2 ntlm 算法彩虹表 . . . . .	25
5.1 优化后彩虹表的空间大小 . . . . .	27
5.2 XFS 性能测试 . . . . .	27
5.3 EXT4 性能测试 . . . . .	28
5.4 EXT3 性能测试 . . . . .	28

## 表格

# 第一章 绪论

## 1.1 研究背景及意义

随着电子商务的发展，网上银行、网上合同、电子签名等的应用越来越广泛，网络已经成为我们生活中不可或缺的一部分。电子商务在给我们的生活带来便捷的同时，也存在着安全隐患。举个简单的例子，Hash 密码算法一直在这些领域中起着身份验证、口令加密、防篡改和重放攻击等作用，目前的用户口令认证机制中，系统将用户的口令进行 Hash 算法加密后存储，以便下次检验用户身份，如果攻击 Hash 算法得到了口令，可想而知对整个系统的安全造成了多大的威胁。

对密码进行分析主要是为了发现加密算法、密钥或密码系统的弱点，以完善加密过程，更有利于信息的安全。另一方面，是为了掌握密码分析者或破译者攻击密码的方法，找出其方法的漏洞，便于预防他们的攻击。同时也是为了更进一步提高广大计算机用户的安全意识和知识水平，减少针对系统的非法入侵和攻击带来的损失。我们知道在整个密码系统中，最有价值的信息就是密钥，绝大部分系统的密钥是用 Hash 函数来保护的，因此，针对密钥的攻击分析是密码分析领域的一个非常有价值的研究的课题。

## 1.2 国内外研究现状与进展

在 1980 年，Martin Hellman<sup>[1]</sup>提出了一个“时间空间折中”的密码分析算法，使用了预先计算好并保存在内存和磁盘里面的数据，减少了密码分析需要的时间。这个算法在 1982 年被 Rivest 提出改进，减少了密码分析过程中所需要的存储空间。

2003 年 7 月瑞士洛桑联邦技术学院的 Philippe Oechslin 公布了一些实验数据，他及其所属的安全及密码学实验室（LASEC）采用了时间空间折中算法，使得密码破解的效率大大提高。他们开发的 Ophcrack 项目可以将一个操作系统的用户登录密码破解速度由 1 分 41 秒，提升到 13.6 秒<sup>[2]</sup>。



该项目提供了一个破解视窗作业系统下的 LAN Manager 散列（比如 hash 文件）的程序，作者免费提供了一些 Rainbow table，可以在短至几秒内破解最多 14 个英文字母的密码，有 99.9% 的成功率。从 2.3 版开始可以破解 NT 散列，这功能对已经关闭 LAN Manager 散列的系统（Windows Vista 的预订设定）或是长于 14 个字母的密码特别有用。

同年 project-rainbowcrack 项目开始立项，该项目基于 Philippe Oechslin 提出的彩虹表，用 C++ 基本实现了对 MD5、SHA-1 算法的低位数低密钥空间的破解 [3]。接着出现了一个分布式彩虹表项目 Free Rainbow Tables，这个项目的分布式系统是基于伯克利开放式网络计算平台（BOIN）。

在我国密码分析还处于初级阶段，由于软、硬件及技术等各种原因，大部分密码分析方法还处于理论阶段。目前，已经出现了各种各样的密码分析系统，都是针对某种加密方法进行分析的，功能和方法上还具有一定的局限性。2004 年 8 月，在美国加州圣芭芭拉召开的国际密码大会上，山东大学王小云教授在会议上首次宣布了她及她的研究小组近年来的研究成果——对 MD5、HAVAL-128、MD4 和 RIPEMD 等四个著名密码算法的破译结果。2008 年国际密码学家 Lenstra 利用王小云提供的 MD5 碰撞，伪造了符合 X.509 标准的数字证书，说明了 MD5 的破译已经不是理论破译结果，而是可以导致实际的攻击，目前 SHA-1 在理论上已经被破译，离实际应用也为期不远。目前国内已经有对基于时空折衷算法的 Word 文档破解研究 [4] 和对 DES 密码算法的彩虹攻击技术及其 GPU 实现 [5] 两篇与彩虹表算法相关的文献。

### 1.3 本文研究现状

本文研究的主要内容就是基于时间空间折中算法的 Hash 密钥分析。主要采用彩虹表进行 Hash 算法破解，并进一步对时空折中算法的研究和优化，开发出基于 CUDA [6] 模型的彩虹表算法实现。主要研究成果有：

1. 优化彩虹表算法参数，减少破解时间；
2. 优化彩虹表的数据结构，减少表的存储空间；

3. 利用 GPU 高性能并行运算提高破解速度。

## 1.4 论文组织结构

本文共分六章，全文结构安排如下：

第一章 绪论。介绍了本课题的研究背景及意义、国内外研究现状与进展、研究现状以及本文组织结构。

第二章 密码分析学。

第三章 时空折中算法。

第四章 利用彩虹表进行密码破解。

第五章 彩虹表算法优化设计与实现。

第六章 本文总结与展望。

## 第二章 密码分析学

几千年前密码学就已经用于保护军事和外交通信，在当今信息时代，大量的敏感信息，如病例、法庭纪录、私人财产等，常通过公共通信设施或计算机网络来进行交换，而这些信息的秘密性和真实性是人们迫切需要的。因此，随之而来的信息安全问题日益突出，信息的安全威胁主要来自黑客攻击、计算机病毒、拒绝服务等。这就要加强信息系统的安全性，而一个系统是否安全以及如何加强系统的安全性，只有通过对该系统抵抗当前各类攻击能力的考查和全面分析才能做出定论。目前人们越来越重视信息的安全威胁，因此密码分析也越来越受到广泛重视

### 2.1 密码分析学的发展背景

### 2.2 密码分析学的定义

密码分析学是一门研究在不知道通常解密所需要的秘密信息的情况下对加密信息进行解密的学科，是密码学的一个分支，它的主要目的是研究信息的破解和信息的伪造。试图发现明文或密钥的过程就叫做密码分析。密码分析人员使用的策略取决于加密方案的特性和分析人员可用的信息。密码分析学是对密码算法进行分析或破译，在未知密钥的情况下，从密文推出明文或密钥的技术。密码编码学和密码分析学这两门学科尽管表面上看来是相互对立，但在整个密码学的发展过程中，却又是相辅相成、相互促进的。

在一个不可信的信息传输和处理系统中，除了合法的接收者外，还有非授权者，他们通过窃听、中间人攻击和重发攻击等手段来获取机密信息。他们虽然不知道系统所用的密钥，但通过分析可能从截获的密文分析出原来的明文甚至加密算法的密钥，这一过程称作密码分析 [7]。从事这一工作的人称作密码分析员或密码分析者。一个密码是可破的，是指的通过密文能够在可容忍代价下分析出明文或密钥，或者通过明文一密文对能够确定密钥。

## 2.3 密码分析学研究的必要性

虽然密码分析的目标在密码学的历史上从古至今都一样，实际使用的方法和技巧则随着密码学变得越来越复杂而日新月异。密码学算法和协议从古代只利用纸笔等工具，发展到第二次世界大战时的恩尼格玛密码机，直到目前的基于电子计算机的方案。而密码分析也随之改变了。无限制地成功破解密码已经不再可能。事实上，只有很少的攻击是实际可行的。在上个世纪70年代中期，公钥密码学作为一个新兴的密码学分支发展起来了。而用来破解这些公钥系统的方法则和以往完全不同，通常需要解决精心构造出来的纯数学问题。其中最著名的就是大数的质因数分解。

对密码进行分析主要是为了发现加密算法、密钥或密码系统的弱点，以完善加密过程，更有利于信息的安全。另一方面，是为了掌握密码分析者或破译者攻击密码的方法，找出其方法的漏洞，便于预防他们的攻击。同时也是为了更进一步提高广大计算机用户的安全意识和知识水平，减少针对系统的非法入侵和攻击带来的损失。因此，进行密码分析是非常必要的。

## 2.4 密码分析方法

密码学在 [8]中可以分为经典密码学和现代密码学，而我们现在研究分析的主要领域在现代密码学，现代密码学包括分组密码算法、消息摘要算法、非对称密钥算法、公/私钥签名算法等。密码分析可以从不同的角度进行分类，并且每种方法之间也没有严格的界限，在这里我们根据上述密码学中密码体制的类型来对密码分析方法进行大体分类。密码分析方法从大的方面可分为：古典密码分析方法，对称密码分析方法，非对称密码分析方法。因为密码有序列密码和分组密码之分，所以对称密码分析方法又分为序列密码分析方法和分组密码分析方法。现有的大多数非对称密码都属于分组密码，所以对非对称密码分析方法不再从这方面分类。本文主要讨论的是针对密码算法中密钥分析的很实用的一些方法，如穷举法、查表法、时空折中法。

### 2.4.1 密码攻击类型

我们在进行密码分析时是在假设密码分析者知道目标系统所使用的加密体制和密码算法的前提下进行的，也就是密码分析者可以根据密码算法得到明文和密文等方面的信息。这样我们可将密码攻击为以下几种主要类型：

1. 唯密文攻击: 密码分析者已知加密算法和待破译密文或部分密文，需要对信息加密的方法进行正确的猜测，对编码者的编码风格及密文的题材有一定的了解。
2. 已知明文攻击: 密码分析者已知加密算法，有一些明文及相应的密文。用这些信息推出用于产生密文的信息。
3. 选择明文攻击: 也称差分密码分析。密码分析者有机会使用密码机，且已知加密算法、待破译的密文、由密码分析者选择的明文信息。密码分析者用一个密钥对他所选择的明文加密以获得结果中的密文，但密钥本身不能被分析，密码分析者通过将整个密文与最初的明文作比较推出密钥。
4. 选择密文攻击: 密码分析者已知加密算法，待破译的密文和密码分析者选择的猜测性密文。密码分析者将自己猜测的密文发给信息的实际接收者，接收者解密后得到一些杂乱的数据，于是他可能将这些杂乱的数据寄回给信息发送者或者以不安全的方式存储，则密码分析者可通过某些手段可能得到这些杂乱数据，再与猜测的密文作比较可推出密钥。
5. 选择文本: 密码分析者已知加密算法，待破译的密文，密码分析者选择的明文信息及其对应的由密钥生成的密文，密码分析者选择的猜测性密文及其对应的由密钥生成的已破译的明文。密码分析者通过他所掌握的这些所有信息可推出密钥。

上述是密码攻击的主要五种类型。这五种攻击类型的强度按序递增，唯密文攻击是最弱的一种攻击，最容易防护，因为密码分析者拥有的可供利用信息量最少。选择密文和选择文本是最强的攻击，如果一个密码系统能够抵抗这两个攻击，那么它当然能够抵抗其余三种攻击，这两者很少被使用，但他们

也是可能的攻击途径。对一个密码系统采取截获密文进行分析的这类攻击称作被动攻击。

密码系统还可能遭受到的另一类攻击是主动攻击，非法入侵者主动向系统采用监听、删除、修改、增添、重放、伪造等手段向系统注入假消息。防止这种攻击的一种有效方法是使发送的消息具有可被验证的能力，使接收者或第三者能够识别和确认消息的真伪，实现这类功能的密码系统称作认证系统。消息的认证性和消息的保密性不同，保密性是使截获者在不知道密钥的条件下不能解读密文的内容，而认证性是使任何不知道密钥的人不能构造出一个密报，使意定的接收者解密成为一个可理解的消息（合法的消息）。

进行密码分析时，我们还应考虑一种密码攻击的复杂度，当然复杂度越低越好。可将密码攻击复杂度分为两部分，数据复杂度和处理复杂度。数据复杂度是实施该攻击所需输入的数据量；而处理复杂度是处理这些数据所需的计算量。这两部分的主要部分通常被用来刻划该攻击的复杂度。例如，在穷举密钥搜索攻击中，所需要的数据量与计算量相比是微不足道的，因此，穷尽密钥搜索攻击的复杂度实际是处理复杂度。在差分密码分析中，实施攻击所需的计算量相对于所需的明密文对的数量来说是比较小的，因此，差分密码分析的复杂度实际是数据复杂度。

#### 2.4.2 暴力攻击法

暴力攻击法可用于任何分组密码算法和消息摘要算法，而且攻击的复杂度只依赖于分组长度和密钥长度，暴力攻击主要有：穷举密钥攻击、字典攻击、查表攻击、时间-存储攻击。

穷举密钥搜索攻击中，设  $k$  是密钥长度（以比特为单位），在唯密文攻击下，攻击者依次试用密钥空间中所有  $2^k$  个密钥解密一个或多个截获的密文，直至得到一个或多个有意义的明文块。在已知（选择）明文攻击下，攻击者试用密钥空间中的所有  $2^k$  个密钥对一个已知明文加密，将加密结果同该明文相对应的已知密文比较，直至二者相等，然后再用其他几个已知明密文对来验证该密钥的正确性。穷举密钥搜索的复杂度平均为  $2^{k-1}$  次加密，实际上这种攻击方法适用于任何密码体制。

字典攻击中，攻击者搜集明密文对，并把它们编排成一个“字典”。攻击者看见密文时，检查这个密文是否在字典里，如果在，他就获得了该密文相对应的明文。如果  $n$  是分组长度，那么字典攻击需要  $2^n$  个明密文对才能使攻击者在不知道密钥的情况下加解密任何消息。

查表攻击中，设  $k$  是密钥长度，查表法采用选择明文攻击，其基本观点是：对一个给定的明文  $x$ ，用所有  $2^k$  个密钥  $K$  (记其全体为  $K$ )，欲计算密文  $y_k = E_k(x)$ 。构造一张有序对表  $(y_k, K)_{k \in K}$ ，以  $y_k$  给出  $K$  的标号。因此，对于给定的密文，攻击者只需从存储空间中找出相对应的密钥  $K$  即可。

时间-空间折中攻击法是一种选择明文攻击方法，它由穷尽密钥搜索攻击和查表攻击两种方法混合而成，它在选择明文攻击中以时间换取空间。它比穷尽密钥搜索攻击的时间复杂度小，比查表攻击的空间复杂度小。如图2.1所示，比较了这种暴力攻击方法的特点：

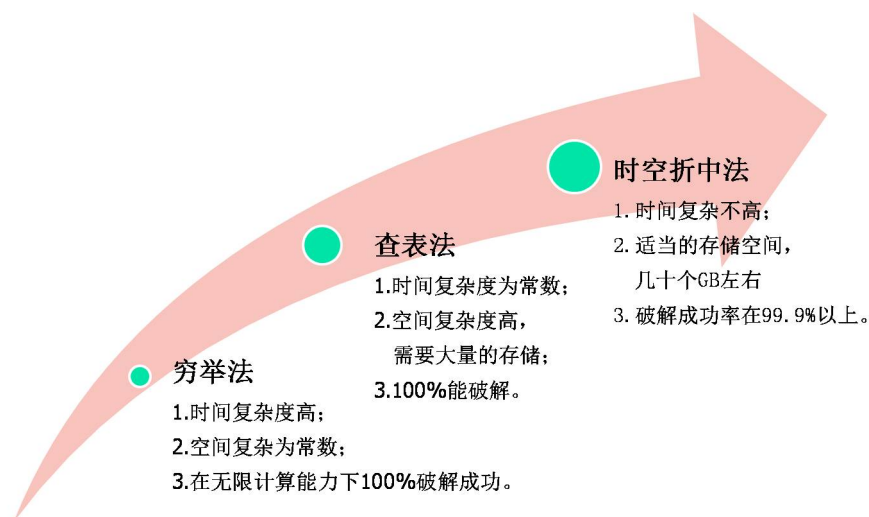


图 2.1 暴力攻击的几个方法比较

## 2.5 单向散列函数的破解

### 2.5.1 Hash 函数的简介

单向散列函数，又称单向 Hash 函数、杂凑函数，就是把任意长的输入消息串变化成固定长度的输出串的一种不可逆函数。这个输出串称为消息的散列值。一般用于密钥加密，产生消息摘要等。单向散列函数是现代密码学的一个重要领域，它是数据完整性检测、数字签名和认证方案中必不可少

的一部分。单向 Hash 函数 [9] 是许多协议框架中的一个模块。目前由许多 Hash 函数的公开算法，一般一个安全的 Hash 函数应该至少满足以下几个条件：

1. 输入串值的长度是任意的；
2. 输出串 Hash 值长度是固定的；
3. 对每个给定的输入串的值，计算机得到输出 Hash 值是很容易的；
4. 给定 Hash 函数的描述，已知一个 Hash 值时，要找到输入串使它的 Hash 值等于已知的这个 Hash 值在计算上时不可行的，或是找到两个不同的输入串，计算得到相同的输出 Hash 值在计算上是不可行的。

Hash 函数主要用于数据完整性校验和数字签名的有效性，常被用在身份认证上。例如在一个身份验证系统上，保存用户的密码时，需要把密码用 Hash 算法进行加密，得到一个 Hash 值。由于 Hash 函数本身的特点，其他用户即使得到了这个 Hash 值也无法还原密码。当用户登录时，系统把用户输入的密码再用 Hash 算法进行计算，得到的 Hash 值与保存在系统中的 Hash 值进行比较，从而验证用户的合法性。MD5[10] (Message-Digest Algorithm 5) 是目前应用最广泛的 Hash 函数之一。MD5 将任意长度的“字节串”变换成一个 128 比特的大整数，并且它是一个不可逆的字符串变换算法，换句话说就是，即使你看到源程序和算法描述，也无法将一个 MD5 的值变换回原始的字符串，从数学原理上说，是因为原始的字符串有无穷多个，这有点象不存在逆函数的数学函数。MD5 在经过一些初始处理后，将明文分成了 512 位的块，再将每一块分成 16 个 32 位的子块。算法的输出是 4 个 32 位的块，连接起来就是 128 位的输出的 Hash 值。

### 2.5.2 对 Hash 函数攻击的方法

#### 1. 替换法

这是一个十分实用的攻击方法，它并不对 Hash 算法本身作任何攻击，只是利用系统中的 Hash 函数重新生成一个 Hash 值，这个 Hash 值的输入串是攻击者已知的，如“password”，这样我们就可能把这串新生成



的 Hash 值替换掉系统本身的 Hash 值，此时攻击者就能用 “password” 能登陆系统，从而达到绕过系统的认证机制。这种攻击方法需要攻击者已知目标系统认证机制使用的 Hash 算法函数（一般的系统都使用 MD5 算法函数）和由替换的权限。

## 2. 字典查表法

还有一种在实际破解中使用较多得方法是字典查询法，攻击者需要预先对目标 Hash 算法构造相应得字典文件，然后把需要破解得 Hash 值跟这个字典文件里得 Hash 值进行检索比较，通常这种办法需要 TB 级甚至跟大得存储空间，并且预运算的时间代价也是很大的。

## 3. 碰撞法

所谓杂凑碰撞指两个完全不同的讯息经杂凑函数计算得出完全相同的杂凑值。根据鸽巢原理，以有长度限制的杂凑函数计算没有长度限制的讯息是必然会有冲撞情况出现的。可是，一直以来，电脑保安专家都认为要任意制造出冲撞需时太长，在实际情况上不可能发生。2004 年 8 月 17 日的美国加州圣巴巴拉的国际密码学会议（Crypto’ 2004）上，来自中国山东大学的王小云教授做了破译 MD5、HAVAL-128、MD4 和 RIPEMD 算法的报告，公布了 MD 系列算法的破解结果。在破解 MD5 之后，2005 年 2 月，王小云教授又破解了另一国际密码 SHA - 1，王小云的研究成果表明了从理论上讲电子签名可以伪造，必须及时添加限制条件，或者重新选用更为安全的密码标准，以保证电子商务的安全。2005 年 8 月，王小云、姚期智，以及姚期智妻子姚储枫（即为 Knuth 起名高德纳的人）联手于国际密码讨论年会尾声部份提出 SHA-1 杂凑函数杂凑冲撞演算法的改良版。此改良版使破解 SHA-1 时间缩短。

## 2.6 本章小结

本章简要介绍了密码分析学的发展背景、定义和研究的意义，重点阐述了现代密码分析的方法手段和密码攻击的类型，比较了暴力攻击法的几种方法，穷举法的虽然可以 100% 破解成功，但这是建立在付出巨大的计算代价

和时间代价；查表法则以巨大的存储代价来达到密码破解的目的；而时空折中法则是前两种办法的折中办法，以空间代价换取时间代价或者以时间代价换取空间代价，在两个中间找到一个平衡点，这样会损失一些破解成功率。最后以单向散列函数的破解为例，介绍了对 Hash 函数加密了的密钥的破解。

## 第三章 时空折中算法

本章主要介绍时空折中算法的相关理论基础。从最初 Martin Hellman 的时空折中算法、Ronald Rivest 的差异点 DP 方法到 Philippe Oechslin 在 2003 年基于前两种方法提出的彩虹表算法 (RainBow Table)，时空折中算法已经成为现代密码分析算法中一类极具现实意义的算法之一。这类算法一般都包括了以下两个主要步骤：1，预运算 (pre-computation)；2，在线分析 (online phase)。本章节 3.1, 3.2 和 3.3 将分别介绍 Martin Hellman 表以及彩虹表的设计原理和构造思想。

我们将在本章中统一使用以下定义： $N$  表示目标密码算法的密钥空间大小； $T$  和  $M$  分别表示在线分析的时间代价以及预运算步骤所产生的密钥表空间大小；对于预运算的成功率  $P$ ，我们通常认为分析者具有足够长的时间，所以该代价一般不作为讨论的内容并且将其粗略等价于穷举所有密钥表空间的时间。

### 3.1 Martin Hellman 最初的算法

Martin Hellman 在 1980 年第一次提出基于时间空间折中算法的分组密码算法 DES 的密码分析 [1]。攻击者使用的是选择明文攻击，也就是给定一个指定的明文加密后的密文，尝试从密文中分析恢复出这次加密的密钥。因此攻击者所要关心的问题是：如何从  $N$  中找出对应的密钥，以 56 比特 DES 为例，其密钥空间为  $N = 2^{56}$ 。（若无特殊说明，下文都将以 56 比特的 DES 为目标密码算法）

#### 3.1.1 预运算

在预运算阶段，算法将首先固定一个目标密文所对应的明文  $P$ ，一般大小为 8 个字符（64 比特），接着结合  $P$  构造如下非逆函数  $f$ ：

$$f(k) = R(S_k(P)) \quad (3.1)$$

其中  $P$  是所选的固定明文信息,  $S$  表示伪随机函数,  $R$  是一个从密文空间到密文空间的简约 (Reduction) 函数, 并且在下文令  $S=DES$ 。对于  $R$  函数的选择, 若无特别说明, 我们将假定任一从 64 比特到 56 比特的映射函数均可适用。通常为了简便起见, 令  $R$  函数为仅简单地去掉 64 比特的高 8 位。从而  $R$ 、 $S$  复合而成的  $f$  函数可以看作是一个 56 比特到 56 比特的伪随机函数。

预运算开始时, 算法将选择  $m$  个来自密钥空间  $N$  的随机密钥作为开始节点 (Start Point, 简称  $SP$ ), 令其为  $SP_1, SP_2, SP_3 \dots SP_{m-1}, SP_m$ 。接着, 将  $SP_1$  作为输入代入公式(3.1), 并迭代  $t$  次, 得到如下两式(3.2)和(3.3):

$$k_i = f(k_{i-1})(1 \leq i \leq t) \quad (3.2)$$

$$SP_1 = k_{10} \xrightarrow{f} k_{11} \xrightarrow{f} k_{12} \xrightarrow{f} \dots \xrightarrow{f} k_{1t} = EP_1 \quad (3.3)$$

其中, 令结束节点 (End Point, 简称  $EP$ )  $EP = f(K_{t-1})$ 。当每个  $SP_j$  都完成  $t$  次迭代后, 我们就会得到一张有  $m$  对形式如  $(SP_j, EP_j)(1 \leq j \leq m)$  的二元组构成的 Hellman 表。

$$\underbrace{\begin{bmatrix} SP_1 = k_{10} \xrightarrow{f} k_{11} \xrightarrow{f} k_{12} \xrightarrow{f} \dots \xrightarrow{f} k_{1t} = EP_1 \\ SP_2 = k_{20} \xrightarrow{f} k_{21} \xrightarrow{f} k_{22} \xrightarrow{f} \dots \xrightarrow{f} k_{2t} = EP_2 \\ \vdots \\ SP_m = k_{m0} \xrightarrow{f} k_{m1} \xrightarrow{f} k_{m2} \xrightarrow{f} \dots \xrightarrow{f} k_{mt} = EP_m \end{bmatrix}}_{\text{迭代 } t \text{ 次}} \quad (3.4)$$

$$\begin{bmatrix} SP_1 & EP_1 \\ SP_2 & EP_2 \\ \vdots & \vdots \\ SP_m & EP_m \end{bmatrix} \quad (3.5)$$

这里要注意的是, 在  $SP$  和  $EP$  之间的节点都不会被保存, 如(3.5)式。这些值可以依靠相应的二元组在需要使用的时候可以在线计算生成, 这也就是把节省了空间, 而关于  $m, t$  的选择, 就是这个时间于空间折中的选择, 一般

它们应当满足：

$$mt^2 = N \quad (3.6)$$

而且(3.6)式也被成为矩阵终止规则 (Matrix stopping rule)。根据生日悖论思想，当上式成立时，将不会有太多的重复节点出现，而当  $m$  或  $t$  过大使得  $mt^2 > N$ ，则冲突数量将快速上升，并最终导致 Hellman 表的成功率下降。而事实上，在实际的密钥攻击过程中，可以允许  $mt^2 < N$ ，只不过相应的攻击成功率会有所下降。

### 3.1.2 在线分析阶段

在线分析阶段，给定已知明文  $P$  和对应的密文  $C$ ，代入  $R(C)$  可以得到  $y_1$ ，然后将  $y_1$  与  $EP_i (i = 1, 2, \dots, m)$  比较，若存在某个  $i$ ，使得等式  $y_i = EP_i$  成立，则会出现以下两种情况：1，加密  $y_1$  的密钥为  $K_{k_{i,t-1}}$ ；2，所对应的密钥不在表中，这个现象叫做 False alarm。若等式  $y_1 = EP_i$  不成立，则继续迭代下一步  $y_2 = f(y_1)$ ，并重复上一步相同的比较，直到出现以下三种情况：1，找到密钥；2，出现 False alarm，就也就假警；3，表搜索结束。简单地讲，在线分析的目的是在 Hellman 表中搜索出正确的密钥  $K$ ，使得  $K = k_{ij} = y_{t-j}$ 。需要注意的是，在线分析过程中的  $y_j$  是可以反复利用与  $y_{j+1}$  计算的，之后介绍的彩虹表将无法重用。

### 3.1.3 TMTO 曲线

在介绍 TMTO 曲线前，我们将先讨论 Hellman 表的空间代价和时间代价。在忽略二元组  $(SP_j, EP_j)$  本身大小和一些其他较小的常量后，我们可以计算出存储  $t$  张维度为  $m \times t$  大小的 Hellman 表需要的空间  $M = mt$ 。同时，由于试图要覆盖整个密钥空间，故预运算的代价  $P = N$ 。在线分析阶段，每一张表的搜索，函数  $f$  最多会被调用  $t$  次，因此  $t$  张表的总时间代价  $T = t^2$ ，由于搜索的代价相对较低，在这里可以忽略不计。基于上述时间和空间的代价分析就很容易得到 TMTO 曲线：

$$TM^2 = N^2 \text{ 并且 } P = N \quad (3.7)$$

反之，当给定时间代价  $T$  和空间代价  $M$  时，则可以通过 3.5 式推出  $m$  和  $t$ ，也就是说可以在时间  $T$  和空间  $M$  的限制下，从以  $m, t$  为参数得 Hellman 表中找到正确得密钥  $K$ 。

结合(3.6)式和(3.7)式我们得到一个重要的等式：

$$T = M = N^{\frac{2}{3}} \quad (3.8)$$

由等式(3.8)可知，密码分析者在使用 Hellman 表来成功破解密钥  $K$  所需要的代价会比穷举攻击快  $N^{\frac{1}{3}}$  倍，当然前提都是在基于选择明文的攻击方式下。由伪随机函数  $S$  的特性可以得到，只要稍加修改，比如将函数  $R$  的输入输出长度改变，我们就能对其他分组密码算法进行密钥破解。所以，对任意的密钥空间为  $N$  的分组密码，利用 Hellman 算法都能获得以  $N^{\frac{2}{3}}$  为代价的密钥破解成功。而针对其他体制的加密算法的密钥分析，例如以杂凑 Hash 函数为代表的 MD5 和 SHA-1 的加密算法，我们将在下面的彩虹表讨论分析。

### 3.1.4 密钥分析的成功率

在上一章2.4节密码分析方法的比较中，我们已经得出了相对穷举法百分之百的破解成功率来说，Hellman 的时空折中算法并非是 100% 能破解成功的，即使你付出了  $N^{\frac{2}{3}}$  的代价。换句话说，也就是这类的时空折中算法是以牺牲少量的成功率为代价换取了在时间或空间上的代价，这也充分体现了折中的这个思想。因此，本节将会重点分析 Hellman 算法的成功率。其实造成成功率损失的根本原因在与算法本身，由于简约函数  $R$  仅是从密文空间  $V$  到密钥空间  $N$  的这么一个映射，而对于两个不同的密文  $C_1, C_2$ ，会有一定概率映射到同一个密文，并造成 Hellman 表中的节点因发生了碰撞而不唯一，如图3.1所示，因此导致了最终的破解成功率降低。一般来说，当  $m, t$  值越大，节点间发生碰撞合并的概率也就越高。并且由于 Hellman 表的每个节点都使用相同的  $R$  函数，所以一旦表中任意两个节点发生碰撞时，这两个节点之后的所有节点也将会发生碰撞，最坏的情况会导致 50% 的效率下降。

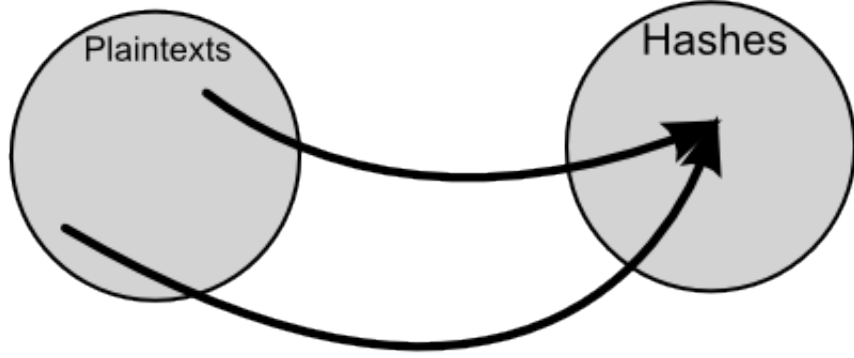


图 3.1 碰撞示意图

成功率是随着  $m, t$  的增大非线性地提升。在文献 [1] 中，我们可以得知一张  $m$  行， $t$  列的 Hellman 表能成功破解密钥  $K$  的概率公式为：

$$P_{Hellman} \geq \frac{1}{N} \sum_{i=1}^m \sum_{j=0}^{t-1} \left(1 - \frac{it}{N}\right)^{j+1} \quad (3.9)$$

由于有节点的碰撞，单表的破解成功概率会随着表的大小增大而放缓增幅，所以为了得到更高的破解成功概率，我们一般都会使用多张表，例如(3.6)式中的  $t$  张表，并且为了避免表与表之间的链碰撞合并，不同的表当中应当使用不同的函数  $R_j (1 \leq j \leq t)$  使得即使不同表间两个节点相同也难导致链表的合并。因此，我们也就很容易得到了  $t$  张 Hellman 表的总成功率公式：

$$P_{Hellman}^{All} \geq 1 - \left(1 - \frac{1}{N} \sum_{i=1}^m \sum_{j=0}^{t-1} \left(1 - \frac{it}{N}\right)^{j+1}\right)^t \quad (3.10)$$

Hellman 称上述节点发生碰撞导致链合并的现象为 False Alarm，也就是出现了上文3.1.2提到的有  $y_k = EP_i$ ，但对应的  $k_{i,t-k}$  不等于正确密钥。直观上分析，表的规模越大，越有概率发生假警，若假警率过高，则在线分析会花费大量的代价在剔除假警，为此 Hellman 给出了一个假警上界：

$$E(F) \leq \frac{mt(t+1)}{2N} \quad (3.11)$$

当假警发生时，最坏情况时导致  $t$  次函数  $f$  的迭代开销，也就是在一开始发生了假警，此时这个代价等同与在线分析时计算  $y_1, y_2 \dots y_t$  的代价。因此当

有  $mt^2 = N$ ，且  $N \gg 1$  时，有  $E(F) \leq \frac{1}{2}$ ，则由于总的开销最多为  $\frac{t}{2}$  次迭代，从而可以保持假警代价不超过  $\frac{t^2}{2}$ ，即  $\frac{T}{2}$ 。

## 3.2 Ronald Rivest 差异点 DP 方法

在随后的 1982 年，Ronald Rivest 提出了差异点（DP）的概念，通过使用差异点减少对磁盘的访问次数，有效地解决了碰撞的问题，从而降低破解的代价。差异点式满足一套标准的数据点。我们定义密钥的前 10 比特为一个特定的二进制，为了简便起见，这里设定为零。Rivest 提出只存储差异点作为终点，在破解密文时，简单地根据 Hellman 的方法生成链直到发现一个差异点，当且仅当发现一个差异点时，才在表中进行查找，这可以大大提升算法的性能。

差异点自提出后就被广泛地研究和使用的，在 1982 年和 2003 年间这一领域的大多数研究都是基于差异点的。Koji Kusuda 和 Tsutomu Matsumoto[11]一文中具体讨论了如何提升破解的成功率，通过研究证明调整表中的参数可以降低内存的消耗，以获得更高的成功率，更快地破解密钥。另外，Johan Borst, Bart Preneel 和 Joos Vandewalle[12]共同发表的一篇文献中也对差异点进行了研究，他们介绍了一种分布式的密钥搜索算法，在基于 Hellman 的假设，认为存储访问代价时微不足道的，研究表明执行分布式密钥搜索时，这个假设不再合理，他们还提出一种可大大减少内存访问次数的折中算法，从而减少与分布式密钥搜索相关的问题。然而，他们的研究在 1998 年完成，这就意味着他们的工作与 2003 年 Oechslin 的工作毫无关联，分布式密钥搜索也与实际的表的生成无关，下面我们将重点介绍 Philippe Oechslin 在 2003 年改进后的算法，也就是目前著名的彩虹表算法。

## 3.3 Philippe Oechslin 的彩虹表算法

### 3.3.1 非完美彩虹表

如 3.1 节所述，Hellman 表的一个主要不足是表大小的限制，当以增大表大小来获得更高得成功率时，表中的节点碰撞而导致的链合并概率也会随之



增加，且增加的比例同  $m$  与  $t$  的平方成正比。为了解决这一不足，在 2003 年，Oechslin 在 Hellman 算法的基础上结合了 Rivest 的差异点 (DP) 的优势，提出了一种在当时比较先进的算法——彩虹表算法 [2]。通过这种时空折中算法预运算所生成的表，我们称之为彩虹表 (Rainbow Table)，彩虹表中的行称为彩虹链。与 Hellman 算法在一张表中只使用一个  $f$  函数不同，彩虹表的每一列使用的  $R$  函数都不一样，以构造不同的  $f$  函数，如式(3.12)所示：

$$f_i(k) = R_i(S_k(P)) \quad (1 \leq i \leq t) \quad (3.12)$$

从上式可以看出，彩虹表用  $R_1, R_2, \dots, R_t$  代替 Hellman 表中的  $R$  函数。因此，只有在当彩虹表中两个节点在同一列发生碰撞时，才会发生链合并。换句话说，如果碰撞发生在不同列的两个节点，由于不同列采用的不同的  $R$  函数，碰撞点之后的链不会被合并。我们假设一张彩虹表有  $m$  条彩虹链，每条彩虹链的长度为  $t$ ，即为  $m \times t$  的矩阵，如式(3.13)：

$$\begin{bmatrix} k_{1,1} & k_{1,2} & \cdots & k_{1,t-1} & k_{1,t} \\ k_{2,1} & k_{2,2} & \cdots & k_{2,t-1} & k_{2,t} \\ \vdots & \vdots & \vdots & \vdots & \vdots \\ k_{m,1} & k_{m,2} & \cdots & k_{m,t-1} & k_{m,t} \end{bmatrix} \quad (3.13)$$

现在来计算这张彩虹表的破解成功率  $P$ ，这个问题实质上等价与整个矩阵每列的概率乘积。第一个元素  $k_{1,1}$  命中的概率为  $\frac{1}{N}$ ，那么这一列命中概率为  $P_1 = \frac{m_1}{N}$ ；则第二列命中的概率为  $P_2 = 1 - (1 - \frac{1}{N})^{m_1}$ ，当  $N \gg m_1$  时， $P_2 = 1 - e^{-\frac{m_1}{N}}$ ，因此，可以得到第  $i$  列的命中概率公式：

$$P_i = 1 - e^{-\frac{m_{i-1}}{N}} = \frac{m_i}{N} \quad (3.14)$$

在概率定理可以推出整张彩虹表的成功率公式为：

$$P_{Rainbow} \geq 1 - \prod_{i=1}^t \left(1 - \frac{m_i}{N}\right)$$

其中， $m_1 = m$ ，且  $m_{n+1} = N \left(1 - e^{-\frac{m_n}{N}}\right)$  (3.15)

比较(3.9)式和(3.15)式, 我们可以发现  $t$  张  $m \times t$  Hellman 表与 1 张  $mt \times t$  的彩虹表有大致相同的成功率。因为这两种算法所产生的表都覆盖了  $mt^2$  的密钥空间, 同时也都包含了  $t$  个不同的  $R$  函数。在假警方面, 两者也有类似共同点, 单张彩虹表的一列以及  $t$  张 Hellman 表, 若包含  $mt$  个节点, 则这些节点中的任一碰撞都将会导致链的合并。上述这样等规模的 Hellman 表和彩虹表的比较可以参考式(3.16)

$$\begin{bmatrix} k_{1,0}^1 \xrightarrow{f_1} k_{1,1}^1 \xrightarrow{f_1} \cdots \xrightarrow{f_1} k_{1,t}^1 \\ \vdots \\ k_{m,0}^1 \xrightarrow{f_1} k_{m,1}^1 \xrightarrow{f_1} \cdots \xrightarrow{f_1} k_{m,t}^1 \end{bmatrix} \quad (3.16)$$

$$\begin{bmatrix} k_{1,0}^t \xrightarrow{f_t} k_{1,1}^t \xrightarrow{f_t} \cdots \xrightarrow{f_t} k_{1,t}^t \\ \vdots \\ k_{m,0}^t \xrightarrow{f_t} k_{m,1}^t \xrightarrow{f_t} \cdots \xrightarrow{f_t} k_{m,t}^t \end{bmatrix} \quad (3.17)$$

$$\begin{bmatrix} k_{1,0}^1 \xrightarrow{f_1} k_{1,1}^1 \xrightarrow{f_2} \cdots \xrightarrow{f_t} k_{1,t}^1 \\ k_{2,0}^1 \xrightarrow{f_1} k_{1,1}^1 \xrightarrow{f_2} \cdots \xrightarrow{f_t} k_{2,t}^1 \\ \vdots \\ k_{mt-1,0}^1 \xrightarrow{f_1} k_{1,1}^1 \xrightarrow{f_2} \cdots \xrightarrow{f_t} k_{mt-1,t}^1 \\ k_{mt,0}^1 \xrightarrow{f_1} k_{1,1}^1 \xrightarrow{f_2} \cdots \xrightarrow{f_t} k_{mt,t}^1 \end{bmatrix} \quad (3.18)$$

在线分析过程中, 彩虹表算法的搜索过程与 Hellman 算法有所不同, 首先, 将给定的密文  $C$  代入  $R_t$  的  $y_1$ , 并检索是否存在某个  $EP_i = y_1$ , 如果找到了匹配的  $EP_i$ , 这可以通过保存的对应  $SP_i$  来恢复  $k_{t,t-1}$ 。若找不到匹配的 EP, 则将密文  $C$  依次代入  $R_{t-1}$ , 再次搜索判断是否存在正确的密钥在第  $t-2$  列中。以此类推, 最坏的情况下将遍历表中所有的  $t$  列, 以  $f$  函数迭代次数为标准, 这个代价为  $1 + 2 + \cdots + (t-1) = \frac{t(t-1)}{2}$  次。而 Hellman 表需要搜索  $t^2$  次, 因而单张的彩虹表相比  $t$  张 Hellman 表, 搜索代价只有不到 Hellman 算法的一半。

在此小结一下彩虹表相对 Hellman 表的优点：

1)，从搜索次数角度来看，彩虹表最多需要比较  $\log(mt) * t$  次，而 Hellman 表将最多需要  $\log(t) * t^2$ ，即搜索  $t$  表  $t$  列。因此彩虹表的比较次数约为 Hellman 的  $\frac{1}{t}$ ，彩虹表相应的 TMTO 曲线为：

$$TM^2 = \frac{1}{2}N^2 \quad (3.19)$$

2)，彩虹表中若发生彩虹链合并时，则会导致对应的 EP 点相同。当需要构造没有重复链的完美表（Perfect Table）时，可以通过检查 EPs 来完成。而 Hellman 表则无此特性。需要注意的是在完美表中并不是没有碰撞节点，而是碰撞节点不在同一列上出现。

3)，由于彩虹链中的  $t$  个 R 函数均不相同，因此链中将几乎不会产生循环。以 Hellman 链为例，若同一链中出现了两个节点  $k_i, k_j$ ，使得  $k_i = k_j$ ，那么由于该链使用相同的 R 函数，故从这两个相同节点的后面节点都会相等，依次类推，最多会导致  $j-i$  个节点的重复，进而缩小了整个 Hellman 表的覆盖率。该现象不会产生假警，然而会降低成功率。而彩虹表则没有相应的问题。

4)，与 Hellman 表的变形差异点（DP）算法相比，彩虹表的链条长度是固定的，这个特性对彩虹表的程序代码实现是十分有利的，同时也会使得假警率有所下降，从而提高了成功率。

### 3.3.2 完美彩虹表

当表中出现合并链时，彩虹表和差异点 DP 算法都可以通过检查是否具有相同的 EP 节点方式来检测出合并，而通常情况在预运算后生成的表需要排序的，这样一来就可以很容易地从表中剔除重复的链，而经过剔除重复链后的表我们称之为完美彩虹表。特别是在当内存空间有限时，我们总希望表能包含尽可能多的唯一节点，以提高成功率。生成相对应的 Hellman 完美表，则不得不搜索整张表，每个节点均要  $O(mt)$  次搜索，显然这是不现实

的。在完美彩虹表中，有  $m_i = m_1 = m (2 \leq i \leq t)$ ，因此成功率可化简为：

$$P_{perfect} = 1 - \prod_{i=1}^t \left(1 - \frac{m}{N}\right) \quad (3.20)$$

从(3.20)式可知，成功率直接与完美彩虹表的初始参数  $m$ ， $t$  有关，也就是表越大，成功率  $P_{perfect}$  应越大。同时与非完美彩虹表比较，不但减少了因存储重复节点而造成的空间浪费，而且节省了在线分析的时间代价。对于一个给定的  $t$ ，假设选择  $m_1 = N$  时得到的  $m_t$  为  $m_{max}(t)$ ，表示为完美彩虹表最大的独立结束节点 EPs 的个数，其中  $m_{i+1} = N \left(1 - e^{-\frac{m_i}{N}}\right) (1 \leq i \leq t)$ 。

当  $t \gg 1$  时，利用泰勒公式可以得到 [13]：

$$m_{max}(t) \approx \frac{2N}{t+2} \quad (3.21)$$

将上式代入(3.20)式便可得出完美彩虹表成功率的最大期望值为：

$$P_{perfect}^{max} = 1 - \left(1 - \frac{m_{max}}{N}\right)^t \approx 1 - e^{-t \frac{m_{max}}{N}} \approx 1 - e^{-2} \approx 86\% \quad (3.22)$$

也就是说，对于  $N$  和较大的  $t$ ，完美彩虹表的成功率会随着  $m$ ， $t$  的增大而趋于一个常量。因此，单张的彩虹表的成功率要小于 80%，若要较高的成功率  $P(P > 90\%)$ ，则可以通过多张彩虹表来实现。

### 3.4 本章小结

本章主要简要地介绍了 3 种典型的时空折中算法，包括 Hellman 算法、差异点 DP 算法和彩虹表算法。时空折中算法主要包括预运算和在线分析两个步骤。Hellman 表和彩虹表具有不同的折中曲线，分别式  $TM^2 = N^2$  和  $TM^2 = \frac{1}{2}N^2$ 。重点分析了彩虹表的成功率，包括公式的推导演算和证明。

## 第四章 利用彩虹表进行密码破解

### 4.1 彩虹表的生成

彩虹表算法中有许多参数变量，在构造一张彩虹表前必须先弄明白每个参数的含义，在这里我们为了方便下文叙述，统一给出彩虹表算法中会出现的参数和变量：Hash 计算能力，取决于 CPU 和 GPU 等硬件设备；硬盘读写速度，取决于硬盘；密钥空间  $N$ ；

1. 每条彩虹链的长度  $t$ ；
2. 一张彩虹表中彩虹链的个数  $m$ ；
3. 彩虹表的个数  $L$ ；
4. 磁盘占用量  $M$  彩虹表所占用的存储空间；
5. 破解成功率  $P$  破解密钥的成功概率；
6. 破解时间；
7. 预运算时间；

由上述可知，一张彩虹表是由许多彩虹链组成的，每个彩虹链在程序中的数据结构如下：

```
1 struct RainbowChain
2 {
3     uint64 nIndexS;           //链表的初始元素
4     uint64 nIndexE;           //链表的末尾元素
5 }
```

函数主要输入参数：

```
1     string sHashRoutineName = argv[1];
2     //需要破解的算法名称
3     string sCharsetNames    = argv[2];
4     int nPlainLenMin         = atoi(argv[3]);
```

```

5      //密码长度最小值
6      int nPlainLenMax      = atoi(argv[4]);
7      //密码长度最大值
8      int nRainbowTableIndex = atoi(argv[5]);
9      int nRainbowChainLen   = atoi(argv[6]);
10     int nRainbowChainCount = atoi(argv[7]);

```

生成彩虹表的关键代码:

```

1      int i;
2      for (i = nDataLen / 16; i < nRainbowChainCount; i++)
3      {
4          cwc.GenerateRandomIndex();
5          uint64 nIndex = cwc.GetIndex();
6          int nPos;
7          for (nPos = 0; nPos < nRainbowChainLen - 1; nPos++)
8          {
9              cwc.IndexToPlain();
10             cwc.PlainToHash();
11             cwc.HashToIndex(nPos);          //缩减函数
12         }
13         nIndex = cwc.GetIndex();

```

初始节点 `nIndexS` 由 `cwc.GenerateRandomIndex()` 函数随机产生, 并把当前的 `index` 值也赋予 `CChainWalkContext.m_nIndex` 中, `m_nindex` 起到中间记录作用, 当经过 `nRainbowChainLen` (参数 `t`) 次循环计算得到 `nIndexE`。

彩虹表生成算法描述:

1. 将随机生成的 `nIndexS` 通过函数 `cwc.IndexToPlain()` 转化成明文 `Plain`, 这一转化过程与二进制转 16 进制差不多, 只是根据明文字符集长度 (`m_nPlainCharsetLen`) 来变化;
2. 对步骤 1 生成的 `Plain` 进行 Hash 函数计算, 通过 `PlainToHash()` 函数实现;
3. 对步骤 2 生成的 Hash 值进行缩减运算, 缩减函数为 `HashToIndex(nPos)`, 最后得到的 `nIndex` 必须在预设的字符空间范围内。

将以上三步循环  $nRainBowChainLen$  次数后，我们将得到  $nIndexE$  和彩虹链的长度，当生成了  $m$  条彩虹链之后，这些彩虹链所组合起来的就是一张彩虹表文件。由于在循环过程中所产生的  $index$  只保存在内存里，并不写入磁盘文件，但是我们依然可以通过初始的  $Index$  计算出这过程中所有的  $index$  值。

$$\begin{bmatrix} Index\_Start_1 & Index\_End_1 \\ Index\_Start_2 & Index\_End_2 \\ \vdots & \vdots \\ Index\_Start_m & Index\_End_m \end{bmatrix} \quad (4.1)$$

从彩虹表的结构(4.1)我们可以很容易得知一个彩虹链的所占的磁盘空间为  $2 * 64 = 128$  比特，也就是 16Byte。由此得到彩虹表磁盘空间占用公式：

$$M = 16 * m * l \quad (4.2)$$

其中  $m$  为彩虹链的条数， $l$  为彩虹表的个数。图4.1为彩虹表生成程序， $hash\_algorithm$  为目标密码  $hash$  算法； $charset$  为密钥的字符集，决定这张彩虹表的密钥空间；还有链表长度和链表个数等参数。

```

/home/kaka/Downloads/rainbowcrack-1.5-linux32 [ 11 files 352Kb ]
[12:46:48 root] rainbowcrack-1.5-linux32 # ./rtgen
RainbowCrack 1.5
Copyright 2003-2010 RainbowCrack Project. All rights reserved.
Official Website: http://project-rainbowcrack.com/

usage: rtgen hash_algorithm charset plaintext_len_min plaintext_len_max table_index chain_num part_index
       rtgen hash_algorithm charset plaintext_len_min plaintext_len_max table_index -bench

hash algorithms implemented in alglib0.so:
  lm, plaintext_len limit: 0 - 7
  ntlm, plaintext_len limit: 0 - 15
  md5, plaintext_len limit: 0 - 15
  sha1, plaintext_len limit: 0 - 20
  mysqlsha1, plaintext_len limit: 0 - 20
  halfmchall, plaintext_len limit: 0 - 7
  ntlmchall, plaintext_len limit: 0 - 15
  oracle-SYSTEM, plaintext_len limit: 0 - 10
  md5-half, plaintext_len limit: 0 - 15

example: rtgen md5 loweralpha 1 7 0 1000 1000 0
         rtgen md5 loweralpha 1 7 0 -bench

Index_Start_1  Index_End_1
Index_Start_2  Index_End_2
      :          :
Index_Start_m  Index_End_m
    
```

图 4.1 彩虹表生成程序

从图4.2中我们可以看到 20 张彩虹表， $hash\_algorithm$  为  $ntlm$  算法， $ntlm$  为 Windows NT 系统的用户登陆验证算法；密钥字符集为  $numeric$ ，也就是  $0 \sim 9$ ，最小长度为 1，最大长度为 12，因此这个密钥空间  $N = 10^{12} + 10^{11} + \dots + 10^2 + 10$ ，其他的密钥并不在这 20 张表里，一定不会被搜

```

[/media/kaka/ntlm_numeric#1-12] [ 20 files 8.8Gb ]
[12:38:02 root] ntlm_numeric#1-12 # ll
total 9175156
-rw-r--r--. 1 kaka kaka 469762080 May 26 10:51 ntlm_numeric#1-12_0_8300x67108864_0.rtc
-rw-r--r--. 1 kaka kaka 469762080 May 26 10:51 ntlm_numeric#1-12_0_8300x67108864_1.rtc
-rw-r--r--. 1 kaka kaka 469762080 May 26 10:52 ntlm_numeric#1-12_0_8300x67108864_2.rtc
-rw-r--r--. 1 kaka kaka 469762080 May 26 10:52 ntlm_numeric#1-12_0_8300x67108864_3.rtc
-rw-r--r--. 1 kaka kaka 469762080 May 26 17:44 ntlm_numeric#1-12_1_8300x67108864_0.rtc
-rw-r--r--. 1 kaka kaka 469762080 May 26 17:44 ntlm_numeric#1-12_1_8300x67108864_1.rtc
-rw-r--r--. 1 kaka kaka 469762080 May 26 17:45 ntlm_numeric#1-12_1_8300x67108864_2.rtc
-rw-r--r--. 1 kaka kaka 469762080 Jun 2 20:33 ntlm_numeric#1-12_1_8300x67108864_3.rtc
-rw-r--r--. 1 kaka kaka 469762080 Jun 2 20:33 ntlm_numeric#1-12_2_8300x67108864_0.rtc
-rw-r--r--. 1 kaka kaka 469762080 Jun 2 20:34 ntlm_numeric#1-12_2_8300x67108864_1.rtc
-rw-r--r--. 1 kaka kaka 469762080 May 25 21:25 ntlm_numeric#1-12_2_8300x67108864_2.rtc
-rw-r--r--. 1 kaka kaka 469762080 May 26 18:05 ntlm_numeric#1-12_2_8300x67108864_3.rtc
-rw-r--r--. 1 kaka kaka 469762080 May 26 18:05 ntlm_numeric#1-12_3_8300x67108864_0.rtc
-rw-r--r--. 1 kaka kaka 469762080 May 26 18:05 ntlm_numeric#1-12_3_8300x67108864_1.rtc
-rw-r--r--. 1 kaka kaka 469762080 May 26 18:06 ntlm_numeric#1-12_3_8300x67108864_2.rtc
-rw-r--r--. 1 kaka kaka 469762080 May 26 18:06 ntlm_numeric#1-12_3_8300x67108864_3.rtc
-rw-r--r--. 1 kaka kaka 469762080 May 26 18:07 ntlm_numeric#1-12_4_8300x67108864_0.rtc
-rw-r--r--. 1 kaka kaka 469762080 Jun 2 20:34 ntlm_numeric#1-12_4_8300x67108864_1.rtc
-rw-r--r--. 1 kaka kaka 469762080 Jun 2 20:34 ntlm_numeric#1-12_4_8300x67108864_2.rtc
-rw-r--r--. 1 kaka kaka 469762080 May 26 17:44 ntlm_numeric#1-12_4_8300x67108864_3.rtc

```

图 4.2 ntlm 算法彩虹表

索到，想要破解需要加大链的数目，或者链表长度，或者表的张数；链表长度为 8300，链表个数为 67108864，这样通过公式(4.2)我们很容易到这 20 张表的所占用的磁盘空间  $M = 20GB$ ，每张表的大小为 1GB。

## 4.2 利用彩虹表进行破解密钥



## 第五章 彩虹表算法优化设计与实现

### 5.1 计算能力优化

#### 5.1.1 基于 GPU 的优化方案

#### 5.1.2 基于云计算的优化方案

### 5.2 存储优化

对于时空折中算法而言，除了要对时间进行优化，还有对空间进行优化，在不增加（或增加少量）时间代价的前提，如何减小空间代价，这就需要我们对系统进行存储优化。我们将从两方面进行改进。第一，针对存储的文件优化，也就是彩虹表文件，我们将设计一个新型的彩虹表存储结构体，减少彩虹表的磁盘存储空间，缩小系统读取文件的时间，从而提升破解的速度；第二，优化存储系统，如采用适合大文件的文件系统，采用快速的物理存储设备等方面提升读取速度。

从上一章彩虹表磁盘空间占用公式(4.2)可知，想要覆盖更大的密钥空间要么增加彩虹链数或者彩虹表的张数，这都会产生庞大的彩虹表文件，可能会达到几百个 GB，甚至上 TB 的文件，这将会增加大量的文件读取时间和磁盘空间，因此对表的存储结构进行优化将十分有必要。我们将新设计的彩虹链，在以前的存储结构中我们是使用了一个 64 比特的非负整型变量定义开始节点，而在实际当中，我们并不需要这么大的节点，比如在第四章中的 ntlm 的彩虹表中，我们只定义了 26 比特的开始节点和 30 比特的末端节点，这样一条彩虹链所占用的字节数为 7Bytes。代入公式(4.2)可以得到一张优化后的表的大小为 448MB，优化了 56.25%。这样大大减小系统的存储空间和读取文件的时间。

新的彩虹链的数据结构实现如下，在以后的测试实验中，我们将都采用这种优化过的彩虹表。

```
1 struct RTCFileHeader
2 {
```

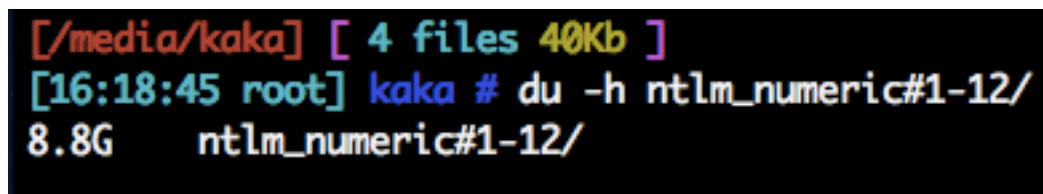


图 5.1 优化后彩虹表的空间大小

```

3     unsigned int    uVersion;
4     unsigned short  uIndexSBits;
5     unsigned short  uIndexEBits;
6     uint64          uIndexSMin;
7     uint64          uIndexEMin;
8     uint64          uIndexEInterval;
9 };

```

在存储上，除了对表的大小进行优化，还可以对系统的储存架构进行优化。在文件系统上，我们采用先进的 XFS 文件系统，XFS 是由 Silico Graphics,Inc. 于 90 年代初开发的，它采用了优化算法，对查询分配存储空间非常快，可以支持上百万 T 字节的存储空间，特别是对大文件的支持表现相当出众；XFS 采用 B+ 树结构保证文件系统可以快速搜索于空间分配；XFS 几乎以接近裸设备 I/O 的性能存储数据，在单个文件系统测试种，其吞吐量可高达 7GB 每秒，对单个文件的读写操作，其吞吐量可达 4GB 每秒。基于 XFS 以上特性，正符合彩虹表多个大文件读取的特点，下图为 XFS 与 EXT3、EXT4 的性能比较：从这 3 组性能测试数据我们可以看出

```

=====
Tue 01 Nov 2011 07:30:10 AM EDT
=====

```

KERNEL		xfs													
-----		-----													
1 - 2.6.32-131.17.1.el6.x86_64															
2 - 2.6.32-214.el6.x86_64															
TEST	KERNEL	ALL IOS	INIT WRITE	RE WRITE	READ	RE READ	RANDOM READ	RANDOM WRITE	BACKWD READ	RECRE WRITE	STRIDE READ	F WRITE	FRE WRITE	F READ	FRE READ
InCache	1	2099	964	1650	2870	2990	2783	1396	2592	3186	2873	905	1547	2850	3067
InCache	2	2082	968	1569	2955	3094	2830	1335	2638	2999	2928	886	1428	2860	3147
		.	.	.	.	.	.	.	.	-5.9	.	.	-7.7	.	.
DirectIO	1	199	166	177	258	261	192	157	218	177	211				
DirectIO	2	199	168	176	256	256	196	155	220	179	210				
		.	.	.	.	.	.	.	.	.	.				
OutOfCache	1	452	564	565	700	712	109	63	342	4532	169	445	543	681	694
OutOfCache	2	450	567	567	691	686	108	66	339	4307	163	441	548	700	700
		.	.	.	.	.	.	.	.	.	.	.	.	.	.
InCacheMmap	1	1723	789	1562	2083	2344	2227	1260	2152	1503	2447				
InCacheMmap	2	1742	806	1593	2116	2350	2188	1283	2180	1513	2494				
		.	.	.	.	.	.	.	.	.	.				
InCacheFsync	1	692	163	172	1162	2927	2636	132	1094	891	1092	154	175	2773	3128
InCacheFsync	2	694	166	176	1157	3025	2657	130	1150	834	1086	152	178	2746	3110
		.	.	.	.	.	.	.	+5.1	-6.4	.	.	.	.	.

图 5.2 XFS 性能测试

```

=====
Tue 01 Nov 2011 07:28:31 AM EDT
=====

```

KERNEL		ext4													
-----		-----													
1 - 2.6.32-131.17.1.el6.x86_64															
2 - 2.6.32-214.el6.x86_64															
TEST	KERNEL	ALL IOS	INIT WRITE	RE WRITE	READ	RE READ	RANDOM READ	RANDOM WRITE	BACKWD READ	RECRE WRITE	STRIDE READ	F WRITE	FRE WRITE	F READ	FRE READ
InCache	1	1988	841	1429	3089	3293	2967	1199	2614	2554	2816	765	1319	2769	3322
InCache	2	1982	859	1438	3105	3294	2894	1184	2525	2568	2739	791	1333	2758	3266
		.	.	.	.	.	.	.	.	.	.	.	.	.	.
DirectIO	1	204	170	182	255	260	198	167	221	188	213				
DirectIO	2	199	161	175	254	258	196	161	220	181	210				
		.	-5.2	.	.	.	.	.	.	.	.				
OutOfCache	1	453	540	566	706	706	111	75	348	3527	168	451	564	706	705
OutOfCache	2	456	549	570	707	709	111	74	351	3576	173	454	567	714	714
		.	.	.	.	.	.	.	.	.	.	.	.	.	.
InCacheMMAP	1	1723	851	1508	2164	2341	2188	1155	2247	1443	2512				
InCacheMMAP	2	1731	852	1514	2194	2362	2207	1160	2235	1451	2512				
		.	.	.	.	.	.	.	.	.	.				
InCacheFsync	1	611	140	144	867	3079	2835	127	830	701	857	132	142	2713	3311
InCacheFsync	2	636	152	156	936	3180	2803	129	879	720	900	140	151	2716	3323
		.	+8.5	+7.8	+7.9	.	.	.	+5.9	.	+5.1	+5.7	+6.4	.	.

图 5.3 EXT4 性能测试

```

=====
Tue 01 Nov 2011 07:27:48 AM EDT
=====

```

KERNEL		ext3													
-----		-----													
1 - 2.6.32-131.17.1.el6.x86_64															
2 - 2.6.32-214.el6.x86_64															
TEST	KERNEL	ALL IOS	INIT WRITE	RE WRITE	READ	RE READ	RANDOM READ	RANDOM WRITE	BACKWD READ	RECRE WRITE	STRIDE READ	F WRITE	FRE WRITE	F READ	FRE READ
InCache	1	1789	516	1195	3030	3388	2943	1017	2721	2285	3023	488	1108	2955	3374
InCache	2	1773	501	1178	3049	3434	2865	987	2709	2279	3031	486	1079	2950	3391
		.	.	.	.	.	.	.	.	.	.	.	.	.	.
DirectIO	1	192	168	171	237	248	192	146	214	177	202				
DirectIO	2	193	167	171	239	249	192	145	216	180	203				
		.	.	.	.	.	.	.	.	.	.				
OutOfCache	1	254	123	119	644	654	106	41	324	3045	161	90	106	663	673
OutOfCache	2	335	297	284	646	655	109	33	336	3169	170	262	282	624	630
		+31.8	+141.3	+137.4	.	.	.	-20.2	.	.	+5.5	+188.7	+165.2	-5.9	-6.3
InCacheMMAP	1	1835	1032	1597	2156	2375	2167	1394	2268	1585	2571				
InCacheMMAP	2	1850	1042	1598	2248	2390	2186	1345	2281	1623	2600				
		.	.	.	.	.	.	.	.	.	.				
InCacheFsync	1	833	113	175	2817	3409	2903	133	2618	919	2914	100	175	2984	3400
InCacheFsync	2	857	127	191	2908	3413	2874	132	2639	894	2965	112	190	2872	3409
		.	+12.0	+8.8	.	.	.	.	.	.	.	+12.0	+8.4	.	.

图 5.4 EXT3 性能测试

XFS 在大多数的选项上要优于 EXT4 和 EXT3，特别是在大文件的读取上。

接着是升级磁盘，表是我们对不同的硬盘的读速度进行对比最后的升级是增加系统内存，在 Linux 系统上内存以/dev/shm/设备呈现给用户，用户可以对次进行读写操作。

## 5.3 算法结构优化

## 5.4 本文的实现与性能分析

## 第六章 本文总结与展望

### 6.1 总结

### 6.2 展望

## 参考文献

- [1] Martin Hellman. A cryptanalytic time-memory tradeoff. *IEEE Transactions on Information Theory*, vol.26(401-406), 1980. 1, 12, 16
- [2] P.Oechslin. Making a faster crytanalytic time-memory trade-off. *Lecture Notes in Computer Science*, vol.2729, 2003. 1, 18
- [3] ZhuShuangLei. The Time-Memory Tradeoff Hash Cracker, 2003. <http://project-rainbowcrack.com>. 2
- [4] 方海英. 基于时空折中算法的 word 文档破解研究. Master's thesis, 杭州电子科技大学, 2009. 2
- [5] 金銓. DES 密码算法的彩虹攻击技术及其 GPU 实现. Master's thesis, 上海交通大学, 2010. 2
- [6] Nvidia CUDA. <http://developer.nvidia.com/object/cuda.html>. 2
- [7] 冯登国. 密码分析学. 清华大学出版社, 2000-08. 4
- [8] 冯登国, 裴定一. 密码学导引. 科学出版社, 北京, 1999. 5
- [9] 春天. 单向 hash 函数, 06 2005. <http://blog.csdn.net/sunrise/2005/10/12/500819.aspx>. 9
- [10] 舒畅. Md5 算法原理及其碰撞攻击. 软件导刊, pages 103–104, 06 2007. 9
- [11] Koji Kusuda and Tsutomu Matsumoto. Achieving higher success probability in time-memory trade-off cryptanalysis without increasing memory size. *TIEICE: IEICE Transactions on Communications/Electronics/Information and Systems*, 1999. 17
- [12] Johan Borst, Bart Preneel, Joos Vandewall. On the Time-Memory Tradeoff Between Exhaustive Key Search and table pre-computation. *Proceedings of the 19th symposium on Information Theory in the Benelux, Veldhoven(NL)*, pages 111–118, 1998. 17

- [13] A. Biryukov and A. Shamir. Cryptanalysis time/memory/data trade-offs for stream ciphers. Proceedings of Asiacrypt' 00(T. Okamoto, ed.)no 1976 in Lecture Notes in Computer Science, pp. 1-13, Springer-Verlag, 2000. 21
- [14] 徐隽. 密码分析中的“时间内存替换”. *Neinfo Security*, 05 2004.
- [15] 叶剑. 基于 GPU 的密码算法实现技术研究. Master's thesis, 解放军信息工程大学, 2010.
- [16] 王彩霞. 密码分析中几种方法的研究及其设计与实现. Master's thesis, 西北大学, 2004.
- [17] 翁捷. 带随机数 MD5 破解算法的 GPU 加速与优化. Master's thesis, 国防科技技术大学研究生院, 2010.
- [18] 将秉天. 基于分布式计算的密码恢复系统研究. Master's thesis, 上海交通大学, 2010.
- [19] Jin Hong. The cost of false alarms in Hellman and Rainbow Tradeoffs. <http://eprint.iacr.org/2008/362.pdf>.
- [20] Michael S. Distributed Pre-computation for a Cryptanalytic Time-Memory Trade-Off. <http://ritdml.rit.edu/dspace/bitstream/1850/7805/1/MTaberThesis10-2008.pdf>.
- [21] Daegun Ma. Studies on the Cryptanalytic Time Memory Trade-Offs. <http://library.snu.ac.kr>.
- [22] S. Che, M. Boyer, J. Meng, D. Tarjan, J. W. Sheaffer and K. Skadron. A Performance Study of General Purpose Applications on Graphics Processors using CUDA. *Journal of Parallel and Distributed Computing*, 2008.
- [23] NVIDIA Corporation. NVIDIA CUDA Programming Guide, 2011.

- [24] G. Avoine, P. Junod and P. Oechslin. Time-memory trade-offs: False alarm detection using checkpoints. In Proceedings of Progress in Cryptology – 6th International Conference on Cryptology (INDOCRYPT’ 05). Lecture Notes in Computer Science, vol. 3797. Cryptology Research Society of India, Springer-Verlag, Bangalore, India, pp, 183–196, 2005.
- [25] V. L.L. Thing and H.M. Ying. A novel time-memory trade-off method for password recovery. *In Proceedings of the Ninth Annual DFRWS Conference*, 6(1):114–120, 2009.